

МИНИСТЕРСТВО ОБРАЗОВАНИЯ И НАУКИ
РОССИЙСКОЙ ФЕДЕРАЦИИ

МГТУ им Н.Э.Баумана

Факультет ФН

Кафедра вычислительной математики и математической физики

Соколов Арсений Андреевич

Домашнее задание №4 по основам сеточных
методов

3 курс, группа ФН11-63Б
Вариант 3

Преподаватель

_____ В. А. Кутыркин
«__» _____ 2020 г.

Москва, 2020 г.

Задание

Задание.

Используя конечные разностные явную и неявную схемы, индуцированные двумерной равномерной сеткой на квадрате $[0; 1] \times [0; 1]$ с шагом $h = \tau = 0.025$ найти численное решение задачи Коши для одномерного параболического уравнения:

$$\left\{ \begin{array}{l} \frac{\partial \varphi(t, x)}{\partial t} - \frac{\partial^2 \varphi(t, x)}{\partial x^2} = -2\beta + \frac{\alpha\beta\pi(x-x^2)}{2} \cos\left(\frac{\pi}{2}t\right) - 2\alpha\beta \sin\left(\frac{\pi}{2}t\right), \quad (t, x) \in (0; 1) \times (0; 1); \\ \varphi(0, x) = 2\beta, x \in [0; 1] \quad (\text{начальное условие}); \\ \varphi(t, 0) = 2\beta(1 - t) = \varphi(t, 1), t \in [0; 1] \quad (\text{краевые условия}); \\ \beta = \frac{N}{2}, \alpha = \frac{1}{64-n}. \end{array} \right. \quad (1)$$

При решении СЛАУ в неявной схеме использовать метод «прогонки». Оценить абсолютные погрешности численных решений. Графически продемонстрировать аналитические и численные решения для моментов времени $t = 0.5$ и $t = 1$ (отдельно для явной схемы, отдельно для неявной схемы). Получившиеся результаты прокомментировать в выводах.

Решение

Для начала сразу заметим, что, используя данные из условия, не получится достигнуть условия аппроксимации схемы аналитического решения, а именно: $\frac{2D\tau}{h^2} < 1$, $h, \tau \rightarrow 0$. Действительно, $\frac{2 \cdot 1 \cdot 0.025}{0.025^2} = 80 \gg 1$. Поступим следующим образом: изменим начальные данные до $h = 0.05$, $\tau = 0.001$. Теперь $\frac{2 \cdot 1 \cdot 0.001}{0.05^2} = 0.8$, что даёт выполнение условия аппроксимации схемы аналитического решения.

Подставим начальные данные ($N = 63, n = 3$) в систему (1):

$$\begin{cases} \frac{\partial \varphi(t, x)}{\partial t} - \frac{\partial^2 \varphi(t, x)}{\partial x^2} = -3 + \frac{3\pi(x-x^2)}{2} \cos\left(\frac{\pi}{2}t\right) - 3 \sin\left(\frac{\pi}{2}t\right), & (t, x) \in (0; 1) \times (0; 1); \\ \varphi(0, x) = 3, x \in [0; 1] & \text{(начальное условие);} \\ \varphi(t, 0) = 3(1 - t) = \varphi(t, 1), t \in [0; 1] & \text{(краевые условия);} \\ \beta = \frac{3}{2}, \alpha = 1. \end{cases}$$

Аналитическое решение

Рассмотрим $\varphi(t, x) = u(t, x) + w(t, x)$, где $w(t, x) = a(t)x + b(t)$, причём $w(t, x)$ удовлетворяет граничным условиям. Тогда $w(t, x) = \frac{\varphi(t, 1) - \varphi(t, 0)}{1}x + \varphi(t, 0) = 3 - 3t$.

Задача относительно $u(t, x)$:

$$\begin{cases} \frac{\partial \varphi(t, x)}{\partial t} - \frac{\partial^2 \varphi(t, x)}{\partial x^2} = -3 + \frac{3\pi(x-x^2)}{2} \cos\left(\frac{\pi}{2}t\right) - 3 \sin\left(\frac{\pi}{2}t\right) \\ \varphi(0, x) = 0 \\ \varphi(t, 0) = 0 \\ \varphi(t, 1) = 0 \end{cases}$$

Рассмотрим решение в виде

$$u(t, x) = \sum_{k=1}^{\infty} u_k(t, x) = \sum_{k=1}^{\infty} T_k(t) X_k(x)$$

и

$$f(t, x) = \sum_{k=1}^{\infty} F_k(t, x) = \sum_{k=1}^{\infty} f_k(t) X_k(x)$$

. Подставим данные выражения в уравнение для u , получим:

$$\begin{aligned} \sum_{k=1}^{\infty} (T'_k(t) \cdot X_k(x) - T'_k(t) X''_k(x)) &= \sum_{k=1}^{\infty} f_k(t) \cdot X_k(x) \\ \sum_{k=1}^{\infty} \frac{T'_k(t)}{T_k(t)} - \frac{f_k(t)}{T_k(t)} &= \sum_{k=1}^{\infty} \frac{X''_k(t)}{X_k(t)} \end{aligned}$$

$$X_k''(x) + \lambda_k X_k(x) = 0$$

$$T_k'(t) + \lambda_k T_k(t) = f_k(t)$$

$$X_k(0) = X_k(1) = 0$$

$$T_k(t) = 0$$

Отсюда $X_k(x) = \sin(\pi kx)$, $\lambda_k = \pi^2 k^2$ и

$$T_k(t) = \int_0^t e^{-\pi^2 k^2(t-\tau)} f_k(\tau) d\tau = \int_0^t 2e^{-\pi^2 k^2(t-\tau)} \int_0^1 f(\xi, \tau) \sin(k\pi\xi) d\xi d\tau$$

Чтобы построить график и сравнить полученное аналитическое решение с численным рассмотрим первые 100 слагаемых бесконечной суммы.

Построим графики:

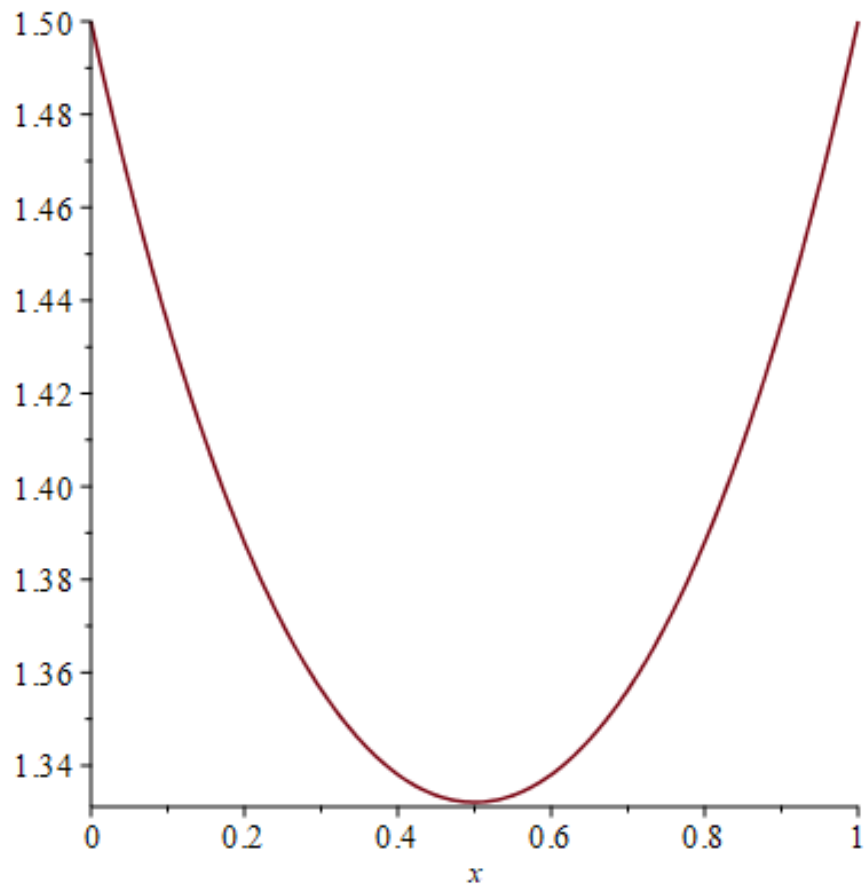


Рис. 1: График аналитического решения при $t = 0.5$

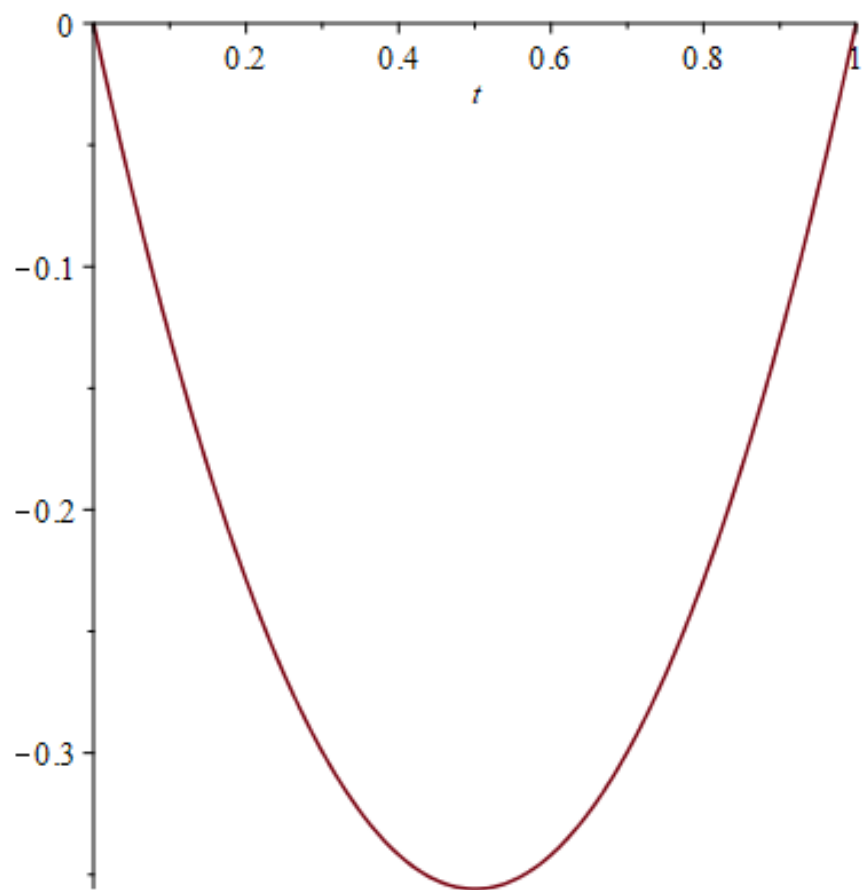


Рис. 2: График аналитического решения при $t = 1$

Численное решение. Явная разностная схема

Явная разностная схема имеет вид:

$$\left\{ \begin{array}{l} \underline{u}^{(0)} = \mu; \\ \underline{u}^{(1)} = G \cdot \underline{u}^{(0)} + \beta^{(1)} + \tau \cdot f^{(0)}; \\ \underline{u}^{(2)} = G \cdot \underline{u}^{(1)} + \beta^{(2)} + \tau \cdot f^{(1)}; \\ \dots\dots\dots \\ \underline{u}^{(n)} = G \cdot \underline{u}^{(n-1)} + \beta^{(n)} + \tau \cdot f^{(n-1)}, \\ n, m \rightarrow +\infty. \end{array} \right.$$

где использованы обозначения:

$$\left\{ \begin{array}{l} p = \frac{D\tau}{h^2}, \quad q = 1 - \frac{2D\tau}{h^2}, \quad r = \frac{D\tau}{h^2}; \\ \mathbf{G} = \begin{pmatrix} 0 & 0 & 0 & \dots & 0 \\ p & q & r & \ddots & \vdots \\ 0 & \ddots & \ddots & \ddots & 0 \\ \vdots & \ddots & p & q & r \\ 0 & \dots & 0 & 0 & 0 \end{pmatrix} \in \mathbf{L}(\mathbb{R}; m+1); \\ \begin{array}{l} \mathbf{u}^{(0)} = [\mu_0, \mu_1, \dots, \mu_m] = \mathbf{u}, \mathbf{u}^{(0)} = \mathbf{u} \in \mathbb{R}^{|B|}(B); \\ \mathbf{u}^{(j)} = [u_0^j, u_1^j, \dots, u_m^j], \mathbf{u}^{(j)} = [\underline{u}_0^j, \underline{u}_1^j, \dots, \underline{u}_m^j] \in \mathbb{R}^{|B|}(B), j = \overline{0, n} \\ \mathbf{f}^{(j)} = [0, f_1^j, \dots, f_{m-1}^j, 0] \in \mathbb{R}^{|B|}(B), j = \overline{0, n-1}; \\ \mathbf{\beta}^{(j)} = [\beta_0^j, 0, \dots, 0, \beta_1^j] \in \mathbb{R}^{|B|}(B), j = \overline{1, n}; \\ \mathbf{\varepsilon}^{(0)} = [0, 0, \dots, 0] = \mathbf{0}_{m+1} \in \mathbb{R}^{|B|}(B); \\ \mathbf{\varepsilon}^{(j)} = [0, \varepsilon_1^j, \varepsilon_2^j, \dots, \varepsilon_{m-1}^j, 0] \in \mathbb{R}^{|B|}(B), j = \overline{1, n}; \\ \|\mathbf{\varepsilon}^{(j)}\| \leq \varepsilon = O(\tau, h^2) \text{ при } \tau, h \rightarrow 0 (n, m \rightarrow +\infty), \quad j = \overline{1, n}. \end{array} \right.$$

$$u_i^j = u(t_j; x_i), \quad f_i^j = f(t_j; x_i), \quad \mu_i = \mu(x_i), \quad \beta_0^j = \beta_0(t_j), \quad \beta_1^j = \beta_1(t_j)$$

Тогда матрица \mathbf{G} примет вид:

[illegible]

Графики численного решения по явной схеме:

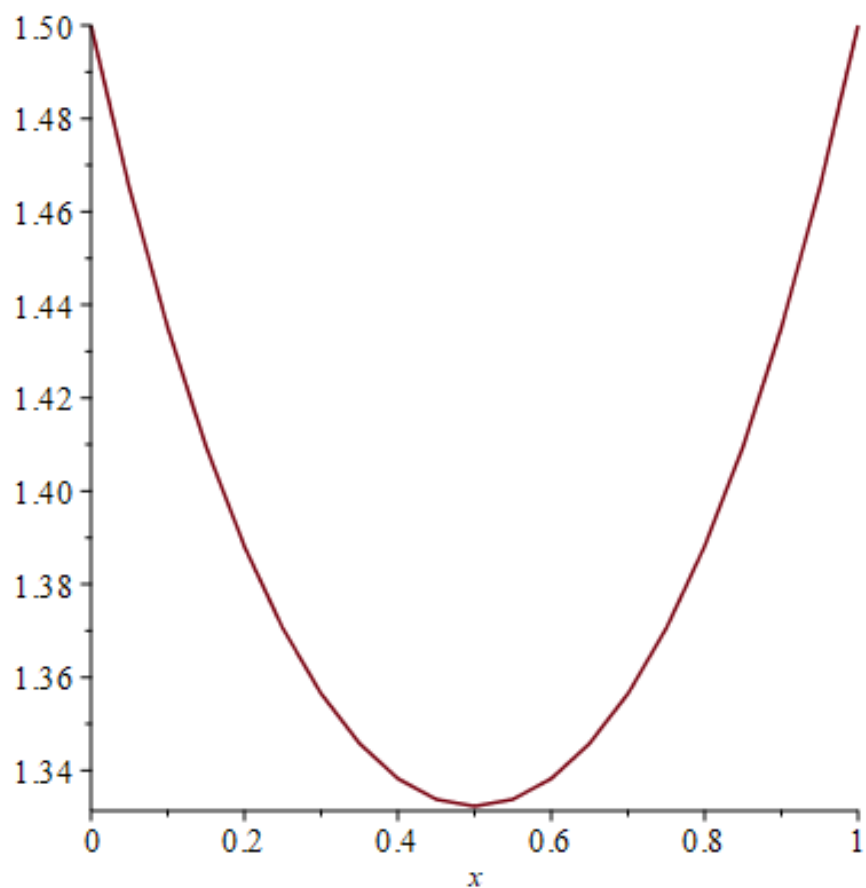


Рис. 3: График численного явного решения при $t = 0.5$

Точки:

$[[0., 1.5000000000000000], [0.5e - 1, 1.46512014427974], [.10, 1.43510655875561],$
 $[.15, 1.40956508234055], [.20, 1.38814550245223], [.25, 1.37054248702328],$
 $[.30, 1.35649637688430], [.35, 1.34579384496598], [.40, 1.33826842788662],$
 $[.45, 1.33380093453720], [.50, 1.33231973530111], [.55, 1.33380093453719],$
 $[.60, 1.33826842788662], [.65, 1.34579384496598], [.70, 1.35649637688430],$
 $[.75, 1.37054248702328], [.80, 1.38814550245223], [.85, 1.40956508234055],$
 $[.90, 1.43510655875561], [.95, 1.46512014427974], [1.00, 1.5000000000000000]]$

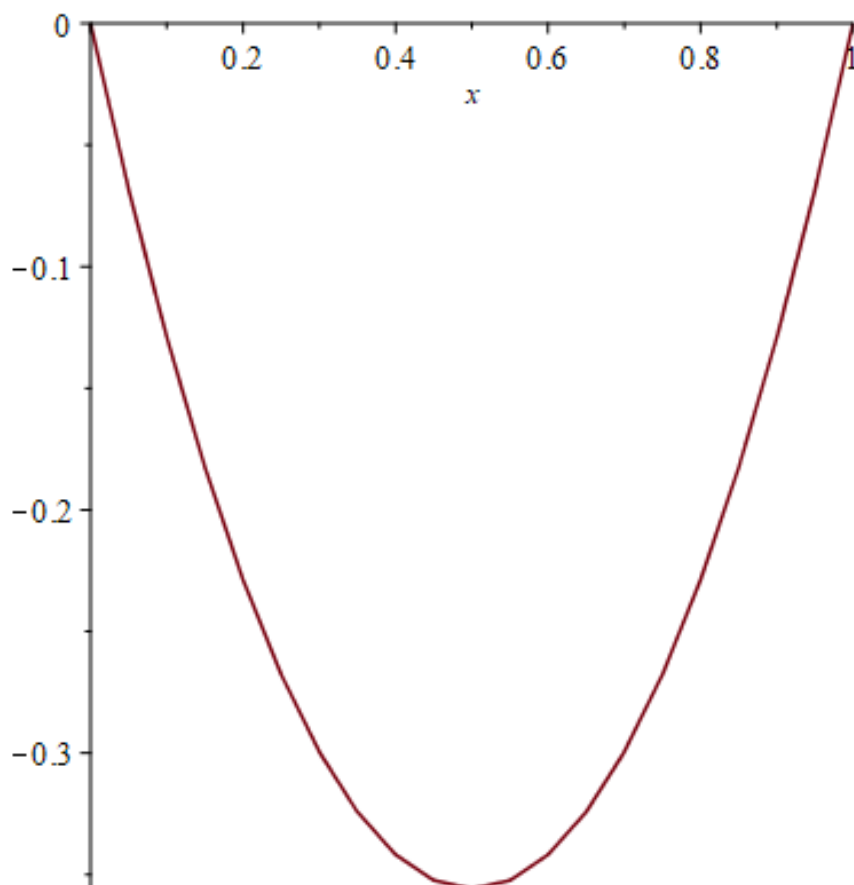


Рис. 4: График численного явного решения при $t = 1$

Точки:

$[[0., 0.], [0.5e - 1, -0.682498782974187e - 1], [.10, -.129074568429754],$
 $[.15, -.182546754227427], [.20, -.228735070545019], [.25, -.267702411330733],$
 $[.30, -.299504465671840], [.35, -.324188480850184], [.40, -.341792251540464],$
 $[.45, -.352343334412606], [.50, -.355858487578648], [.55, -.352343334412606],$
 $[.60, -.341792251540464], [.65, -.324188480850184], [.70, -.299504465671840],$
 $[.75, -.267702411330733], [.80, -.228735070545019], [.85, -.182546754227427],$
 $[.90, -.129074568429754], [.95, -0.682498782974187e - 1], [1.00, 0.]]$

Абсолютная погрешность численного решения явной разностной схемы:

0.0003313756673828

Численное решение. Неявная разностная схема

Неявная разностная схема имеет вид:

$$\left\{ \begin{array}{l} \underline{u}^{(0)} = \underline{\mu}; \\ H \cdot \underline{u}^{(1)} = \underline{u}^{(0)} - \underline{\beta}^{(0)} + \underline{\beta}^{(1)} + \tau \cdot \underline{f}^{(1)}; \\ H \cdot \underline{u}^{(2)} = \underline{u}^{(1)} - \underline{\beta}^{(1)} + \underline{\beta}^{(2)} + \tau \cdot \underline{f}^{(2)}; \\ \dots\dots\dots \\ H \cdot \underline{u}^{(n)} = \underline{u}^{(n-1)} - \underline{\beta}^{(n-1)} + \underline{\beta}^{(n)} + \tau \cdot \underline{f}^{(n)}. \end{array} \right.$$

где использованы обозначения:

$$\left\{ \begin{aligned} p &= -\frac{D\tau}{h^2}, \quad q = 1 + \frac{2D\tau}{h^2}, \quad r = -\frac{D\tau}{h^2}; \\ H &= \begin{pmatrix} 1 & 0 & 0 & \cdots & 0 \\ p & q & r & \ddots & \vdots \\ 0 & \ddots & \ddots & \ddots & 0 \\ \vdots & \ddots & p & q & r \\ 0 & \cdots & 0 & 0 & 1 \end{pmatrix} \in \mathbf{L}(\mathbb{R}; m+1); \\ \mathbf{\textcolor{teal}{u}}^{(0)} &= [0, 0, \dots, 0] = \mathbf{\textcolor{teal}{u}}_0 \in \mathbb{R}^{|B|}(B); \\ \mathbf{\textcolor{teal}{u}}^{(j)} &= [0, \delta u_1^j, \delta u_2^j, \dots, \delta u_{m-1}^j, 0] \in \mathbb{R}^{|B|}(B), \quad j = \overline{1, n}; \\ \mathbf{\textcolor{teal}{e}}^{(0)} &= [0, 0, \dots, 0] = \mathbf{\textcolor{teal}{e}}_0 \in \mathbb{R}^{|B|}(B); \\ \mathbf{\textcolor{teal}{e}}^{(j)} &= [0, \underline{\varepsilon}_1^j, \underline{\varepsilon}_2^j, \dots, \underline{\varepsilon}_{m-1}^j, 0] \in \mathbb{R}^{|B|}(B), \quad j = \overline{1, n}; \\ \|\mathbf{\textcolor{teal}{e}}^{(j)}\| &\leq \underline{\varepsilon} = O(\tau, h^2) \quad (\text{при } \tau, h \rightarrow 0), \quad j = \overline{1, n}. \end{aligned} \right.$$

Тогда матрица **Н** примет вид:

[illegible]

Графики численного решения по неявной схеме:

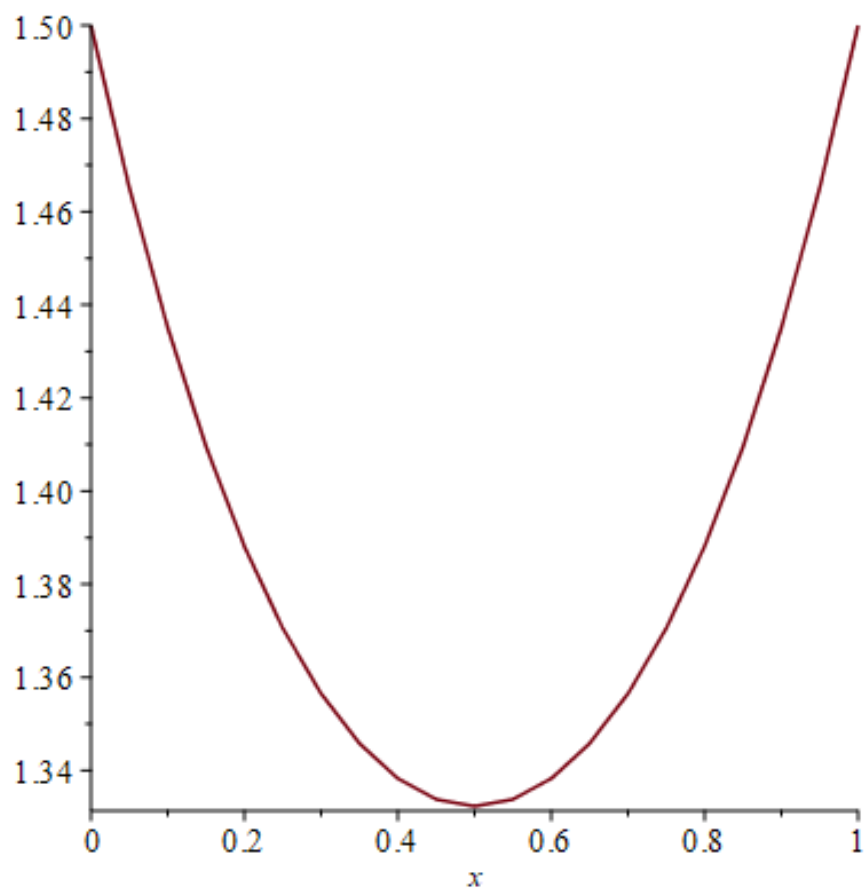


Рис. 5: График численного неявного решения при $t = 0.5$

Точки:

$[[0., 1.5000000000000000], [0.5e - 1, 1.46511828754889], [.10, 1.43510284991246],$
 $[.15, 1.40955955422417], [.20, 1.38813823239132], [.25, 1.37053360884059],$
 $[.30, 1.35648608125871], [.35, 1.34578237854569], [.40, 1.33825608599867],$
 $[.45, 1.33378805052480], [.50, 1.33230666634649], [.55, 1.33378804582714],$
 $[.60, 1.33825607663055], [.65, 1.34578236496297], [.70, 1.35648606474227],$
 $[.75, 1.37053359110446], [.80, 1.38813821556771], [.85, 1.40955953917702],$
 $[.90, 1.43510283892470], [.95, 1.46511828181135], [1.00, 1.5000000000000000]]$

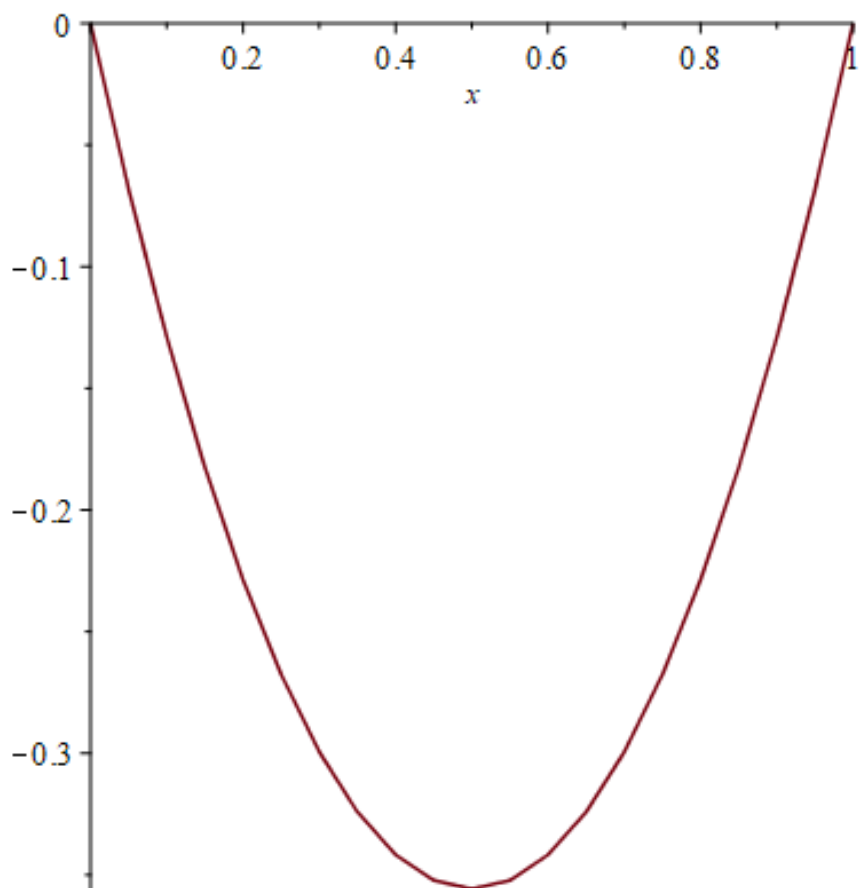


Рис. 6: График численного неявного решения при $t = 1$

Точки:

$[[0., 0.], [0.5e - 1, -0.682364359217568e - 1], [.10, -.129048075377762],$
 $[.15, -.182507948748947], [.20, -.228684993436692], [.25, -.267642363435463],$
 $[.30, -.299435965635561], [.35, -.324113224489577], [.40, -.341712071696780],$
 $[.45, -.352260161487117], [.50, -.355774310310583], [.55, -.352260160919589],$
 $[.60, -.341712070536377], [.65, -.324113222788131], [.70, -.299435963606849],$
 $[.75, -.267642361352541], [.80, -.228684991603023], [.85, -.182507947202775],$
 $[.90, -.129048074320734], [.95, -0.682364354011660e - 1], [1.00, 0.]]$

Абсолютная погрешность численного решения неявной разностной схемы:

0.0002759265358915

Построим совмещенные графики полученных решений.

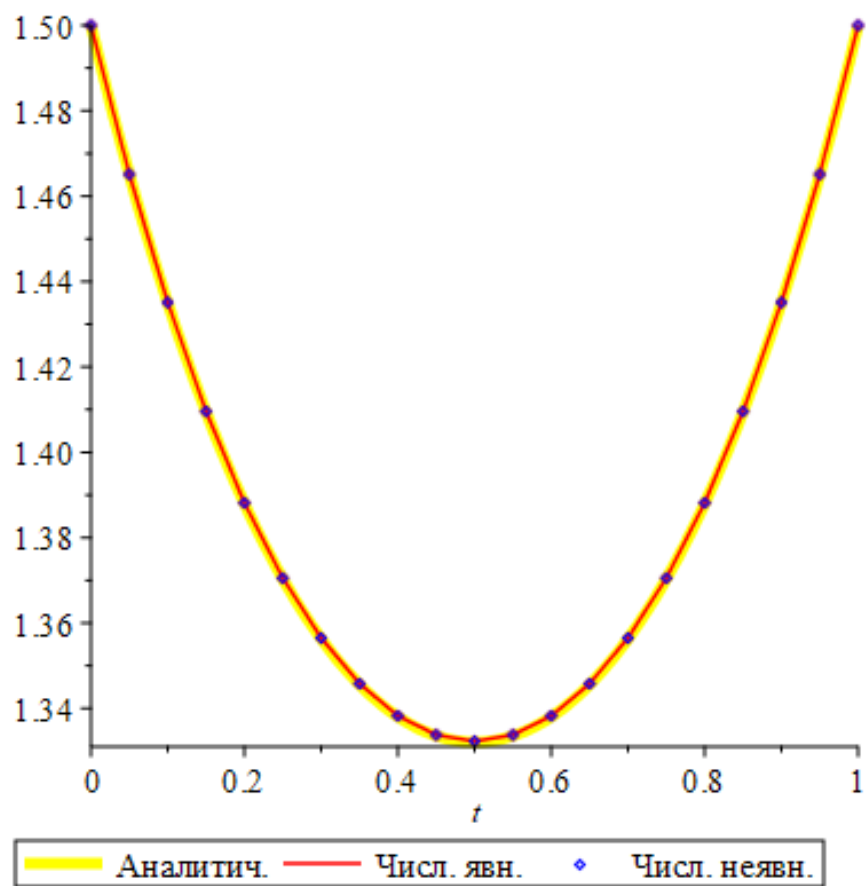


Рис. 7: Совмещённые графики при $t = 0.5$

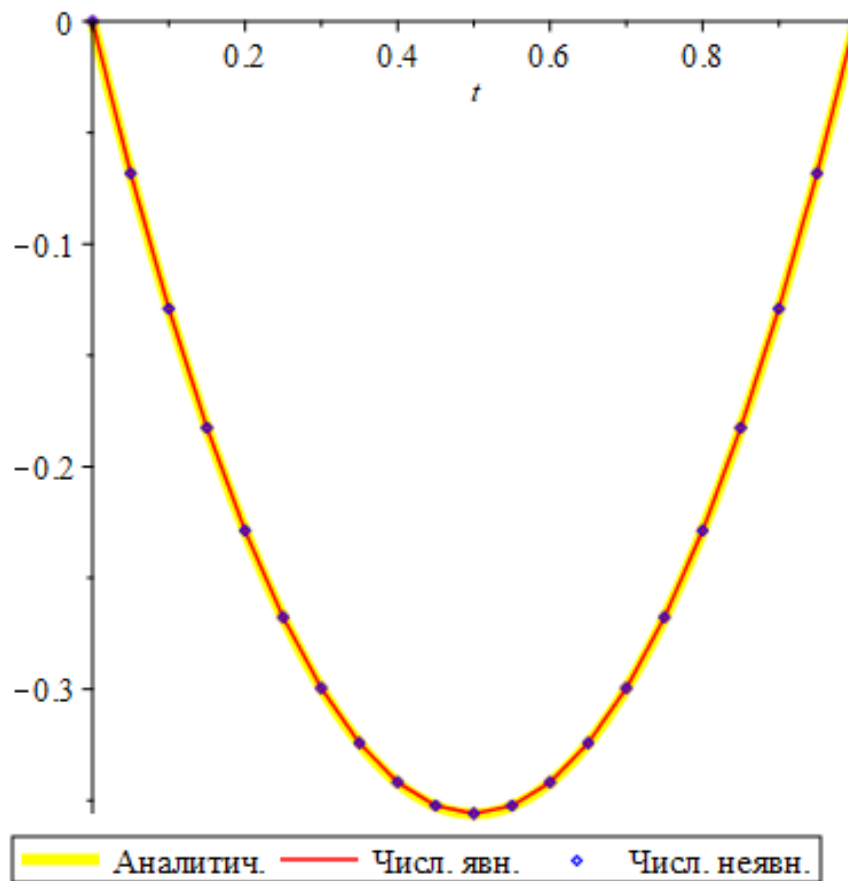


Рис. 8: Совмещённые графики при $t = 1$

Вывод. Проанализировав совмещённые графики, можно сделать вывод о том, что аналитическое, численное явное и численное неявное решения хорошо наложилось друг на друга. Таким образом, разобранные конечноразностные схемы имеют достаточно высокую точность. Кроме того, нужно еще раз подчеркнуть о важности выполнения условия аппроксимации схемы аналитического решения, а именно: $\frac{2D\tau}{h^2} < 1$, $h, \tau \rightarrow 0$